

# Øilumos atidavimo skaitiniai tyrimai vertikaliame plokðèiame kanale miðrios konvekcijos atveju priedingø krypèiø tèkmèse

## 1. Laminarinè miðri konvekcija bei perėjimas á sùkuriná tekèjimà esant simetriniam dvipusiam kaitinimui

Arûnas Sirvydas,

Robertas Poðkas

*Lietuvos energetikos institutas,  
Branduolinès inþinerijos problemø  
laboratorija, Breslaujos g. 3,  
LT-44403 Kaunas*

Øiame straipsnyje pateikti Øilumos atidavimo vertikaliame plokðèiame kanale miðrios konvekcijos atveju priedingø krypèiø tèkmèse, esant laminariniam dujø (oro) tekèjimui, skaitinio modeliavimo rezultatai. Dvimatis modeliavimas atliktas programa FLUENT 6.1 esant 0,1; 0,2 ir 0,4 MPa absoliutiniam oro slègiui, kai Reinoldso skaièius ( $Re_{in}$ ) buvo keièiamas nuo 1500 iki 4310, o Grashofo ( $Gr_{q,in}$ ) skaièius – nuo  $1,65 \cdot 10^5$  iki  $3,1 \cdot 10^9$ , siekiant iðrÿðkinti termogravitacijos jègø poveikà Øilumos atidavimui.

Modeliavimas parodè, jog esant nedideliam termogravitacijos jègø poveikiui, oro tèkmè visuose kanalo skerspjûviuose yra nukreipta þemyn, t. y. juda priverstinio tekèjimo kryptimi. Didèjant termogravitacijos jègø poveikiui stebimas oro tèkmès atitrûkimas nuo sieneliø tam tikroje kanalo vietoje. Toliau didinant kaitinimà didèja ir termogravitacijos jègø poveikis, ir tèkmès atitrûkimo vieta pasislenka kaitinimo pradþios link. Nuo tèkmès atitrûkimo vietos gerokai sumaþèja kanalo sienelès temperatûra ir pagerèja Øilumos atidavimas, kuris panaðiame lygyje iðsilaiko per visà likusà kanalo ilgà

Iðanalizavus modeliavimo rezultatus gautos apibendrinanèios priklausomybès tèkmès nestabilumo padèèiai pagal kanalo ilgà ávertinti ir Øilumos atidavimui skaièiuoti laminarinio tekèjimo zonoje.

**Raktaþodþiai:** Øilumos mainai, oro tèkmè, laminarinè miðri konvekcija, perėjimas á sùkuriná tekèjimà, vertikalus plokðèias kanalas, simetrinis kaitinimas, skaitinis modeliavimas

### 1. ÁVADAS

Daugelyje fizikiniø sistemø svorio jègos laukas yra pagrindinis veiksnys, sàlygojantis terpès judèjimà ir konvekciná Øilumos perneðimà. Ði svorio (termogravitacijos) jèga gali turèti didelà átakà konvekciniams Øilumos mainams ávairios formos kanaluose ir esant priverstiniam tekèjimui. Átakos laipsnis priklauso nuo vyraujanèiø Grashofo, Reinoldso ir Prandtlio kriterijø bei nuo kanalo geometrijos.

Laminarinis ir pereinamasis tekèjimas kanaluose, esant miðriai konvekcijai, nagrinètas darbuose [1–5]. Darbe [1] tirtas tèkmès judèjimo nestabilumas vertikaliame vamzdyje á jo centriná dalà ápurðkiant daþus ir stebint tèkmæ vizualiai. Vienkrypèiø tèkmiø atveju

praradus tekèjimo stabilumà daþø siûlelis ágaudavo sinusoidès formà ir bûdavo fiksuojamos sienelès temperatûros pulsacijos. Didinant termogravitacijos jègø poveikà daþø siûlelio sinusoidinio judèjimo amplitudè padidèdavo, kol galiausiai siûlelis bûdavo suardomas. Konstatuota, jog tèkmès nestabilumo atsiradimas priklauso ne tik nuo termogravitacijos jègos dydþio, bet ir nuo kanalo ilgio ( $x/d$ ).

Darbuose [2, 3] pabrèþiama, jog persilenkimo taðkø atsiradimas greièio profiliuose ir ypaè atgalinio tekèjimo atsiradimas skatina laminarinio tekèjimo stabilumo praradimà ir perèjimà prie turbulencinio tekèjimo. Tokiu atveju perèjimas ið laminarinio tekèjimo á turbulenciná ávyksta, kai  $Re < 2300$  (t. y. nepasiekus kritinio  $Re$  skaièiaus áprastinèmis sàlygomis).

Darbe [2] pasiūlyta priklausomybė, kuri, esant vienkryptėms tėkmėms vamzdyje, āgalina nustatyti nedimensinā atstumā nuo kanalo kaitinimo pradėios, kuriame laminarinis tekėjimas praranda stabilumā:

$$X_{cr} = 12,9 \left( \frac{Gr_q}{Re} \right)^{-0,8}. \quad (1)$$

ėi formulė galioja, kai  $300 < Re \leq 2 \cdot 10^3$ ,  $0,6 < Pr < 10$ .

ėilumos atidavimui skaiėiuoti laminarinės miėrios konvekcijos atveju esant vienkryptėms tėkmėms, kai  $250 < Re \leq 2 \cdot 10^3$ ,  $0,6 < Pr < 10$  ir  $Gr_q/Re < 2,6 \cdot 10^4$ , pasiūlyta priklausomybė [2]:

$$\frac{Nu}{Nu_l} = \left( 1 + \frac{Gr_q}{Re \cdot B} \right)^{0,27}; \quad (2)$$

ėia  $B$  – dydis, priklausantis nuo parametro  $X$ :

$$B = 5,4 \cdot X^{-1} + 312 \cdot X^{1/4}, \text{ kai } X \leq 0,07,$$

$$B = 240, \text{ kai } X > 0,07.$$

Ā (2) formulā, kai  $X > 0,07$ , neātraukus vieneto kaip maėo dydėio, ji taptė Holmano [4] priklausomybe stabilizuotam Ėilumos atidavimui skaiėiuoti:

$$Nu = 1,45 \left( \frac{Gr_q}{Re} \right)^{0,27}. \quad (3)$$

Esant priedingė kryptėiė tėkmėms, visė pirma tėkmės nestabilumas fiksuojamas daėė siūleliui āėavus neįymiā tėkmės asimetrijo pried pat kaitinamā kanalo dalā. Buvo pastebėta, kad padidėjus termogravitacijos jėgė ātakai tėkmė pradeda trūkėiوتي [5].

Priedingė kryptėiė tėkmio atveju vamzdyje, didėjant  $Gr_q/Re$  santykiui, tėkmės greitis prie kanalo sieneliė sumaėėja, o kanalo centre – padidėja. Darbe [3] nurodoma, kad, kai  $Gr_q/(4Re) \approx 100$ , greiėio gradientas prie sienelės pasidaro lygus nuliui, o ėio parametėrė santykiui esant kiek didesniam, prie sienelės jau atsiranda atėalinis tekėjimas. Kai  $Gr_q/(4Re) \approx 170$ , stabilumas pabeidėiamas, prie sienelės susidaro sūkuriai, o dar labiau padidinus  $Gr_q/(4Re)$  santykā tekėjimas pereina ā turbulencinā. Taėiau priedingė kryptėiė tėkmio atveju nėra pasiūlyta apibendrinanėio priklausomybiė nei  $X_{cr}$ , nei Ėilumos atidavimui laminarinės miėrios konvekcijos atveju skaiėiuoti.

Pirmajame straipsniė serijos „ėilumos atidavimo skaitiniai tyrimai vertikaliame plokėiame kanale miėrios konvekcijos atveju priedingė kryptėiė tėkmėse“ straipsnyje pateikti skaitiniai laminarinės miėrios konvekcijos modeliavimo simetriėkai kaitinamame vertikaliame plokėiame kanale, esant priedingė kryptėiė tėkmėms, rezultatai. Taip pat pasiūlytos apibendrinanėios priklausomybės  $X_{cr}$  ir Ėilumos atidavimui skaiėiuoti laminarinės miėrios konvekcijos atveju.

## 2. SKAITINIŖ TYRIMŖ METODIKA

Modeliuotas dvimatis stacionarus oro tėkmės judėjimas plokėiame (aukėtis 0,0408 m, ilgis 6 m), vertikaliame,

simetriėkai kaitinamame kanale, esant priedingė kryptėiė tėkmėms, kai absoliutinis slėgis kanale  $p = 0,1; 0,2; 0,4$  Ā Pa. Reinoldso kriterijus ātekėjime buvo keiėiamas nuo  $1,5 \cdot 10^3$  iki  $4,31 \cdot 10^3$ , o  $Gr_q$  – nuo  $1,65 \cdot 10^5$  iki  $3,1 \cdot 10^9$ . Ėilumos srautas ant kaitinamė sieneliė buvo keiėiamas plaėiame intervale, siekiant iėryėkinti termogravitacijos jėgė poveikā. Kanalo geometrijo parinkta tokia, kaip ir laboratorijoje naudojamo eksperimentinio ruoėo geometrijo miėriai konvekcijai tirti. Oro slėgio, temperatūros ir  $Re_m$  reikėmės buvo parinktos tokios pat, kaip ir eksperimento metu. Tai ateityje leis geriau suprasti ir interpretuoti gautus eksperimentė duomenis.

Modeliavimas atliktas programa FLUENT 6.1. FLUENT – tai ėiuolaikinė kompiuterinės takiojė medėpiagė dinamikos programa, kuri plaėiai taikoma visame pasaulyje, modeliuojant takiojė medėpiagė judėjimā ir Ėilumos mainus sudėtingose dvimatėse arba trimatėse sistemose [6]. Ėi programa pagrindines tėkmės ir energijos lygtis leidžia sprasti taikant kontroliniė tūriė metodā.

Mūsė atveju visi tekėjimo reėimai modeliuoti stacionaraus laminarinio tekėjimo lygtimis, t. y. vartotos dvimatės Navje–Stokso lygtys tėkmei apibūdinti bei energijos lygtis Ėilumos perneėimui āvertinti.

Tėkmės nepertraukiamumo lygtis:

$$\frac{\partial(\rho u_x)}{\partial x} + \frac{\partial(\rho u_y)}{\partial y} = 0. \quad (4)$$

Judesio lygtis atskiroms greiėio komponentėms ( $u_x$  ir  $u_y$ ):

$$\rho u_x \frac{\partial u_x}{\partial x} + \rho u_y \frac{\partial u_x}{\partial y} = -\frac{\partial p}{\partial x} + 2 \frac{\partial}{\partial x} \left( \mu \frac{\partial u_x}{\partial x} \right) + \frac{\partial}{\partial y} \left( \mu \left( \frac{\partial u_x}{\partial y} + \frac{\partial u_y}{\partial x} \right) \right) + \rho g, \quad (5)$$

$$\rho u_x \frac{\partial u_y}{\partial x} + \rho u_y \frac{\partial u_y}{\partial y} = -\frac{\partial p}{\partial y} + 2 \frac{\partial}{\partial y} \left( \mu \frac{\partial u_y}{\partial y} \right) + \frac{\partial}{\partial x} \left( \mu \left( \frac{\partial u_x}{\partial y} + \frac{\partial u_y}{\partial x} \right) \right). \quad (6)$$

Kaip matyti,  $u_x$  greiėio komponentės (4) lygtyje yra papildomas narys  $+\rho g$ . Šis narys āvertina termogravitacijos jėgė poveikā priedingė tėkmio atveju ( $x$  aėis yra iėilginė kanalo aėis).

Energijos lygtis:

$$\rho u_x \frac{\partial i}{\partial x} + \rho u_y \frac{\partial i}{\partial y} = \frac{\partial}{\partial x} \left( \frac{\mu}{Pr} \frac{\partial i}{\partial x} \right) + \frac{\partial}{\partial y} \left( \frac{\mu}{Pr} \frac{\partial i}{\partial y} \right). \quad (7)$$

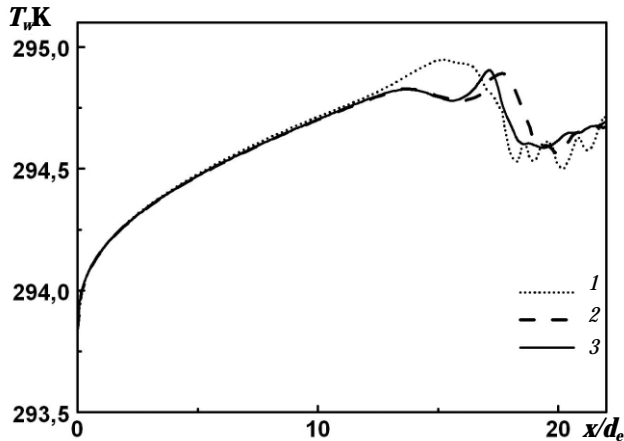
ėios lygtys sprendėiamos esant tokioms ribinėms sąlygoms:

- ātekėjime ( $x = 0$ ):  $u_x = u_{in}$ ;  $u_y = 0$ ;  $i = i_{in}$ ;
- ant sienelės ( $y = 0$  arba  $y = h$ ):  $u_x = u_y = 0$ ;

$q_{wl} = q_{wr} = \text{const}$ .

Modeliuojant svarbu sukurti tinkamā tinklėlā, nes tinklėlio kokybė turi labai svarbiā ātakā skaitinio modeliavimo tikslumui ir sprendinio stabilumui. Siekiant kuo tiksliau iėdėstyti tinklėlio celes kanalo zonoje prie sieneliė (pasienio sluoksnyje), buvo remtasi [7] darbe pateiktu grafiku. Ėis grafikas atspindi hidrodinaminio ( $\delta_H/h$ ) ir šiluminio ( $\delta_T/h$ ) pasienio sluoksniė storius priklausomai nuo  $Ra$  ( $Ra = Ra_{lė} \cdot Pr$ ) skaiėiaus.  $Ra = Gr_q \cdot Pr$ ) skaiėiaus.

Mūsų atvejui pagal didžiausią Ra skaičių nustatėms abiejų pasienio sluoksnių santykinis storis (po tūkmės atitrūkimo) paaiškėjo, kad šiluminio pasienio sluoksnio storis vidutiniškai 4 kartus mažesnis nei hidrodinaminio. Dėl to, kuriant tinklą skaičiavimui, pirmasis mazgas nuo sienelės buvo nustatytas taip, kad patektų į šiluminį pasienio sluoksną Tolstant nuo sienelės kanalo centro link, tinklo celės neįymiai didėjo. Taigi zonoje prie sienelės tinklo celės buvo išdėstytos gana tankiai, o ties kanalo centru šiek tiek rečiau.



1 pav. Sienelės temperatūros ir tūkmės nestabilumo taško padėties priklausomybė nuo tinklo dydžio: 1 –  $30 \times 2200$ ; 2 –  $50 \times 6000$ ; 3 –  $60 \times 7500$

Išbandyti keli tinklai. 1 paveiksle parodyti modeliavimo rezultatai laminarinei daliai ir perėjimo (tūkmės nestabilumo) taškui, naudojant skirtingus tinklus.

Iš pradžių skaičiavimui atlikti  $30 \times 2200$  tinklo (1 pav., 1 kreivė). Vėliau tinklas tiek pagal kanalo aukštą tiek pagal ilgą buvo gerokai sutankintas ir skaičiavimui pakartoti. Modeliavimo  $50 \times 6000$  tinklo rezultatai parodyti 1 paveiksle (2 kreivė). Po to tinklas buvo dar kartą sutankintas ir skaičiavimui vėl pakartoti. Modeliavimo  $60 \times 7500$  tinklo rezultatai taip pat parodyti 1 paveiksle (3 kreivė).

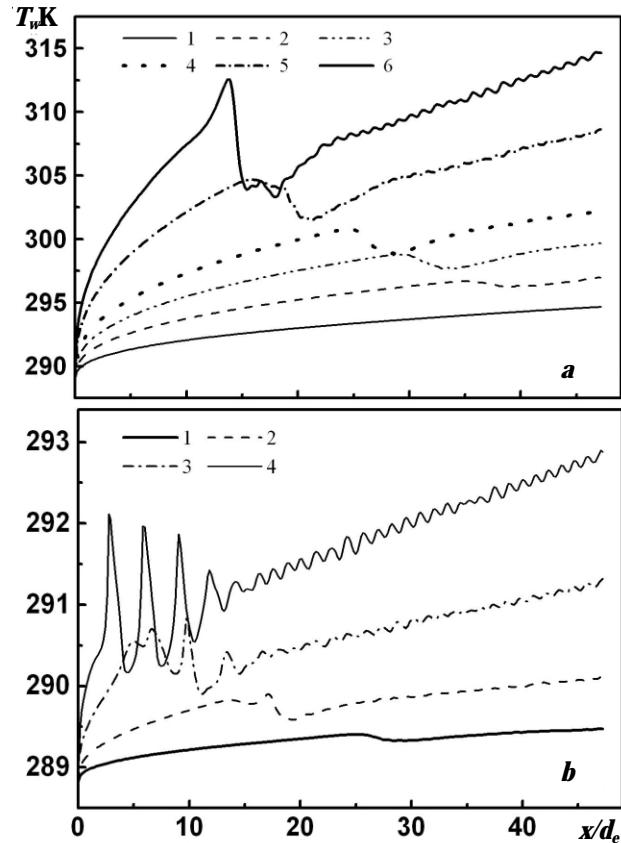
Matyti, kad pirmuoju tinklo ( $30 \times 2200$ ) gauti rezultatai skiriasi nuo rezultatų, gautų su kitais dviem tinklais. Modeliavimo antruoju ir trečiuoju tinklais rezultatai tūkmės laminarinėje dalyje ir jos perėjimo taško vietoje visiškai sutapo. Todėl visi tolesni skaičiavimai atlikti naudojant  $60 \times 7500$  tinklą.

Gautų rezultatų pirminio apdorojimo stadijoje buvo nustatomi pagrindiniai kriterijai  $Nu$ ,  $Re$ ,  $Gr_q$  ir  $X$ . Juose sąlygojančiais parametrais laikomi srauto vietiniai vidutiniai masiniai temperatūra ir greitis bei plokščio kanalo ekvivalentinis skersmuo  $d_e$ .

### 3. SKAITINIŲ TYRIMŲ REZULTATAI IR JŲ ANALIZĖ

Kaip jau minėta, skaitinis modeliavimas atliktas esant keliems Reinoldso skaičiams ir skirtingam slėgiui ka-

nale ( $Re_{in} = 2136$ ,  $p = 0,1$  MPa;  $Re_{in} = 1500$ ,  $p = 0,2$  MPa;  $Re_{in} = 2011$ ,  $p = 0,2$  MPa;  $Re_{in} = 2136$ ,  $p = 0,4$  MPa;  $Re_{in} = 4310$ ,  $p = 0,4$  MPa) bei simetriniam sienelės kaitinimui, kuris buvo keičiamas plačiame diapazone norint sumodeliuoti skirtingą termogravitacijos jėgų poveiką



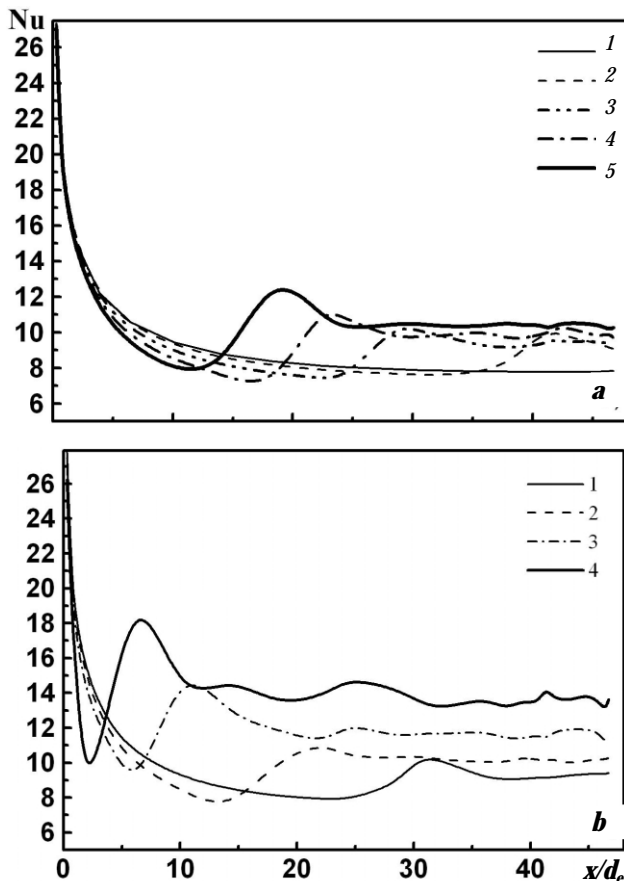
2 pav. Sienelės temperatūros momentinės reikšmės kitimas pagal kanalo ilgą priklausomai nuo termogravitacijos jėgų poveikio (šilumos srauto dydžio ant sienelės), kai  $Re_{in} = 2136$ ,  $p = 0,1$  MPa (a): 1 –  $Bo_{in} = 757$ ; 2 –  $Bo_{in} = 1135$ ; 3 –  $Bo_{in} = 1513$ ; 4 –  $Bo_{in} = 1892$ ; 5 –  $Bo_{in} = 2837$ ; 6 –  $Bo_{in} = 3784$ . Kai  $Re_{in} = 2136$ ,  $p = 0,4$  MPa (b): 1 –  $Bo_{in} = 1404$ ; 2 –  $Bo_{in} = 2808$ ; 3 –  $Bo_{in} = 5616$ ; 4 –  $Bo_{in} = 9828$

Skaitinio modeliavimo rezultatai rodo, kad esant nedideliame sienelės kaitinimui, jos temperatūra nusekliai didėja pagal kanalo ilgą (2 pav. a, 1 kreivė). Termogravitacijos jėgų poveikis šilumos atidavimui beveik nepasireiškia, o tik kaupia tam tikrą nestabilumo potencialą. Labiau kaitinant (2 pav. a, 2 kreivė; 2 pav. b, 1 kreivė), didėja ir termogravitacijos jėgų poveikis, sienelės temperatūra taip pat palaipsniui didėja. Tačiau tam tikrame atstume nuo kanalo kaitinimo pradžios (2 pav. a,  $x/d_e \approx 35$ ; 2 pav. b,  $x/d_e \approx 26$ ) pažeidžiamas tūkmės stabilumas ir atsiranda antriniai tekėjimai. Tūkmėje, nuo jos stabilumo praradimo vietos iki pat kanalo pabaigos, prie sienelės formuojasi sūkuriai, dėl kurių pagerėja šilumos nuvedimas ir todėl sumažėja kanalo sienelės temperatūra. Dar labiau pa-

didinus kaitinimà (2 pav. a, 3 kreivė; 2 pav. b, 2 kreivė) kanalo sienelės temperatūra taip pat nuosekliai didėja pagal kanalo ilgà, taėiau atstumas, nuo kurio tėkmė praranda stabilumà, yra maĉesnis (2 pav. a,  $x/d_e \approx 27$ ; 2 pav. b,  $x/d_e \approx 14$ ) nei pried tai buvusiu atveju. Dėl anksėiau susidaranėio sūkurio kanalo sienelės temperatūra taip pat sumaĉėja anksėiau.

Vis labiau didinant kaitinimà (2 pav. a, 4–6 kreivės; 2 pav. b, 3–4 kreivės) stebima ta pati tendencija – kanalo sienelės temperatūra nuosekliai didėja, taėiau atstumas, kuriame tėkmė iĉlaiko stabilø judėjimà, vis trumpėja ir dėl to kanalo sienelės temperatūros sumaĉėjimas pasireiĉkia anksėiau (esant maĉesniam  $x/d_e$ ).

Kai termogravitacijos jėgø poveikis didelis (2 pav. b, 3 ir 4 kreivės), modeliavimo rezultatai rodo, jog tėkmės stabilumo praradimo vietoje labai sumaĉėja kanalo sienelės temperatūra. Taip pat matyti, jog toje vietoje formuojasi keli, didesni sūkuriai (tai rodo didesnės temperatūros pulsacijos ir didesni atstumai tarp temperatūros pikø), o tam tikrame atstume uĉ jø formuojasi daugiau, taėiau kur kas maĉesniø sūkuriukø, kurie sukelia neĉymias sienelės temperatūros pulsacijas.



**3 pav.** Šilumos atidavimo kitimas pagal kanalo ilgà priklausomai nuo termogravitacijos jėgø poveikio, kai  $Re_{in} = 2136$ ,  $p = 0,1$  MPa (a): 1 –  $Bo_{in} = 757$ ; 2 –  $Bo_{in} = 1135$ ; 3 –  $Bo_{in} = 1892$ ; 4 –  $Bo_{in} = 2837$ ; 5 –  $Bo_{in} = 3784$ . Kai  $Re_{in} = 2136$ ,  $p = 0,4$  MPa (b): 1 –  $Bo_{in} = 1404$ ; 2 –  $Bo_{in} = 2808$ ; 3 –  $Bo_{in} = 5616$ ; 4 –  $Bo_{in} = 9828$

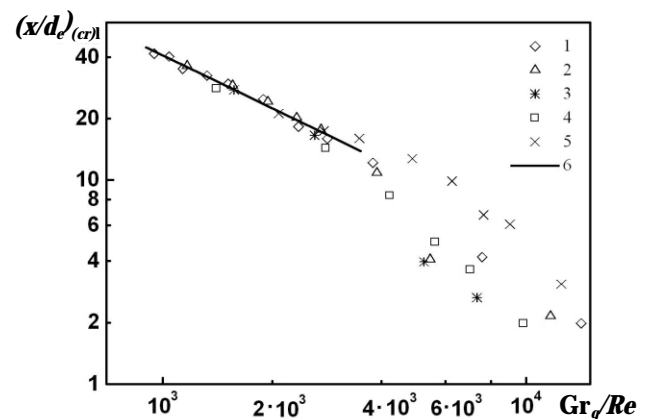
Aiĉku, kad dėl susidariusio sūkurio labai pagerėja ĉilumos atidavimas kanale. Tai akivaizdĉiai atspindi Nu kitimas pagal kanalo ilgà (3 pav. a, b).

Tolstant nuo kanalo kaitinimo pradĉios Nu maĉėja, nes storėja ĉiluminis pasienio sluoksnis. Taėiau ĉilumos atidavimas, esant neĉymiam kaitinimui, stabilizuojasi pagal kanalo ilgà (3 pav. a, 1 kreivė). Kai kaitinimas didesnis, tai didėja ir termogravitacijos jėgø poveikis. Dėl to prie kanalo sienelio tėkmės greitis sumaĉėja, ĉilumos atidavimas taip pat sumaĉėja ir tam tikrame atstume nuo kanalo kaitinimo pradĉios, prie sienelio jau atsiranda priedingos krypties tekėjimas. Kaip matyti 3 paveiksle, ĉis tekėjimo pokytis sàlygoja staigø ĉilumos atidavimo padidėjimà (3 pav. a, 2–5 kreivės; 3 pav. b, 1–4 kreivės). Po to, didėjant  $x/d_e$ , ĉilumos atidavimas neĉymiai sumaĉėja ir toks iĉsilaiko per visà likusà kanalo ilgà.

3 paveiksle matyti, kad didėjant termogravitacijos jėgø poveikiui, atstumas nuo kaitinimo pradĉios, kuriame takioji medĉiaga iĉlaiko stabilø tekėjimà, t. y. neatitrūksta nuo kanalo sienelio ir nesusidaro antrinio tekėjimo, trumpėja.

#### 4. TYRIMO REZULTATØ APIBENDRINIMAS

Kaip jau minėta, esant nedideliam termogravitacijos jėgø poveikiui oro tėkmė per visà kanalo skerspjūvà juda ĉemyn (pagal priverstinio tekėjimo kryptà), o greiėio profilis simetrinis. Didinant kaitinimà (didėja ir termogravitacijos jėgø poveikis), jau kai  $Gr_q/Re \approx 950$ , tam tikru atstumu nuo kaitinimo pradĉios tėkmė praranda stabilumà. Dar labiau padidinus kaitinimà tėkmės stabilumo praradimo taĉko vieta slenkasi kanalo kaitinamos dalies pradĉios link. Nedimensinio atstumo, nuo kurio tėkmė praranda stabilumà, kitimas nuo termogravitacijos jėgø poveikio, esant àvairiems tekėjimo reĉimams, parodytas 4 pav.



**4 pav.** Nedimensinio atstumo, nuo kurio tėkmė praranda stabilumà, priklausomybė nuo termogravitacijos parametro  $Gr_q/Re$ : 1 –  $Re_{in} = 2136$ ,  $p = 0,1$  MPa; 2 –  $Re_{in} = 2011$ ,  $p = 0,2$  MPa; 3 –  $Re_{in} = 1494$ ,  $p = 0,2$  MPa; 4 –  $Re_{in} = 2136$ ,  $p = 0,4$  MPa; 5 –  $Re_{in} = 4317$ ,  $p = 0,4$  MPa; 6 – pagal (8) priklausomybė

Matyti, kad šiose koordinatėse modeliavimo rezultatai koreliuoja tik stabilizuoto tekėjimo zonai, t. y. kai  $x/d_e \geq 15$ .

Ėia rezultatui, kai  $1490 \leq Re \leq 4310$ ,  $950 < Gr_q/Re \leq 3000$  ir  $x/d_e \geq 15$ , apibendrinti priklausomybė:

$$(x/d_e)_{cr1} = 15,5 \cdot 10^3 \left( \frac{Gr_q}{Re} \right)^{-0,86} \quad (8)$$

(8) priklausomybė modeliavimo rezultatus apibendrina su ne didesne kaip 9% neapibrėžtimi.

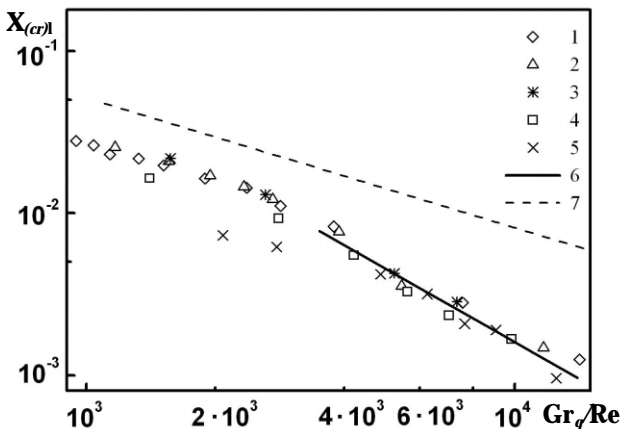
Siekiant apibendrinti rezultatus ir tuo atveju, kai  $x/d_e < 15$ , nedimensinis atstumas apskaičiuotas pagal priklausomybę:

$$X_{cr1} = (x/d_e) \cdot (1/(Re \cdot Pr)). \quad (9)$$

Naujose koordinatėse ( $X_{cr1} = f(Gr_q/Re)$ ) duomenys pavaizduoti 5 pav. Kai  $x/d_e < 15$ , jie apibendrinti (10) priklausomybė:

$$X_{cr1} = 16 \cdot 10^2 \left( \frac{Gr_q}{Re} \right)^{-1,5} \quad (10)$$

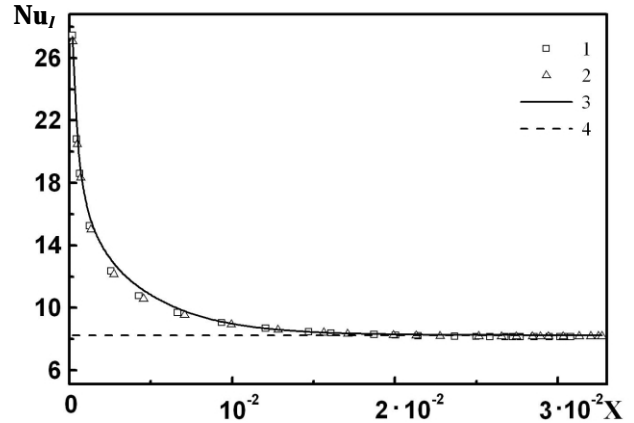
Priklausomybė (10) modeliavimo rezultatus ( $1490 \leq Re \leq 4310$ ,  $3000 < Gr_q/Re \leq 14 \cdot 10^4$ ) apibendrina su ne didesne kaip 10% neapibrėžtimi.



5 pav. Nedimensinio atstumo, nuo kurio tėkmė praranda stabilumą, priklausomybė nuo termogravitacijos parametro  $Gr_q/Re$ : 1 -  $Re_{in} = 2136$ ,  $p = 0,1$  MPa; 2 -  $Re_{in} = 2011$ ,  $p = 0,2$  MPa; 3 -  $Re_{in} = 1494$ ,  $p = 0,2$  MPa; 4 -  $Re_{in} = 2136$ ,  $p = 0,4$  MPa; 5 -  $Re_{in} = 4317$ ,  $p = 0,4$  MPa; 6 - pagal (10) priklausomybę; 7 - pagal (1) priklausomybę vienkryptėms tėkmėms [2]

5 pav. taip pat matyti, kad tėkmės nestabilumas, esant priešingam krypčiai tėkmėms, atsiranda anksčiau, nei tai vyksta vamzdyje esant vienkryptėms tėkmėms (5 pav., 7 tiesė).

Norint apibendrinti šilumos mainų duomenis mišrios konvekcijos atveju, juos tikslinga normalizuoti panaudojant šilumos atidavimo priverstinės konvekcijos atveju duomenis. Skaitinio modeliavimo rezultatai nepasireiškiant termogravitacijos jėgų atakai pateikti 6 paveiksle. Buvo apskaičiuoti du tekėjimo re-

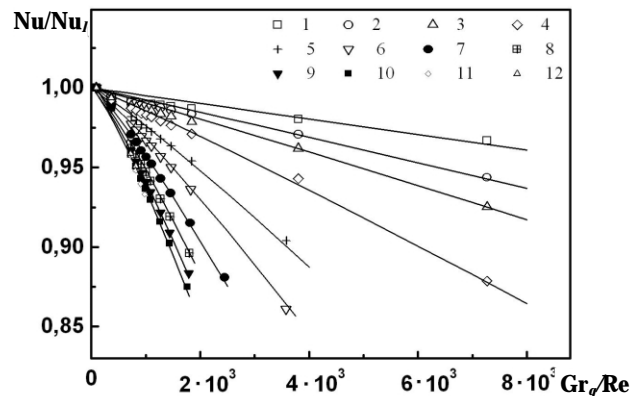


6 pav. Šilumos atidavimo kitimas pagal kanalo ilgį, nepasireiškiant termogravitacijos jėgų atakai: 1 -  $Re_{in} = 2136$ ,  $p = 0,1$  MPa; 2 -  $Re_{in} = 2011$ ,  $p = 0,2$  MPa; 3 - pagal (11) priklausomybę; 4 -  $Nu = 8,24$  [8]

žimai esant panašioms  $Re_{in}$  kriterijoms, tačiau skirtingiems slėgiams, t. y. 0,1 MPa ir 0,2 MPa. Stabilizuoto šilumos atidavimo zonoje  $Nu = 8,24$  ir sutampa su [8] duomenimis dvipusio kaitinimo atveju, kai  $q_w = \text{const}$ . Skaitiniams rezultatams aprašyti pasiūlyta priklausomybė:

$$Nu_l = 8,24 + 18,44e^{-X/0,00052} + 7,12e^{-X/0,0042}, \quad (11)$$

kuri apibendrina duomenis su ne didesne kaip 4% neapibrėžtimi.



7 pav. Santykinio šilumos atidavimo priklausomybė nuo  $Gr_q/Re$  esant švairiems  $x/d_e$ , kai  $Re_{in} = 2136$ ,  $p = 0,1$  MPa: 1 -  $x/d_e = 0,3$ ; 2 - 0,7; 3 - 1; 4 - 1,9; 5 - 3,9; 6 - 6,5; 7 - 10,1; 8 - 14,2; 9 - 18,3; 10 - 22,3; 11 - 35,9; 12 - 42. Tačiau - modeliavimo rezultatai. Ištiesinės linijos - pagal (12) priklausomybę

Santykinio šilumos atidavimo priklausomybė nuo termogravitacijos parametro  $Gr_q/Re$ , esant švairiems  $x/d_e$ , pavaizduota 7 paveiksle. Ėia  $Nu/Nu_l$  reikšmės atidėtos iki tėkmės atitrūkimo vietos kanale. Ėiame paveiksle matyti, kad didėjant termogravitacijos jėgų poveikiui santykinis šilumos atidavimas sumažėja ymaiai daugiau didėjant  $x/d_e$  reikšmei, tačiau asimptotiškai ar-

tėja prie ðilumos atidavimo, bûdingo  $x/d_e \geq 20$ . Taigi, kai  $x/d_e \geq 20$ ,  $Nu/Nu_l$  stabilizuojasi pagal kanalo ilgá. Modeliavimo rezultatams ( $1,9 \cdot 10^3 < Re \leq 4 \cdot 10^3$ ,  $90 \leq Gr_q/Re \leq 7,2 \cdot 10^3$ ) apibendrinti pateikta priklausomybë:

$$\frac{Nu}{Nu_l} = 1 - C \cdot \left( \frac{Gr_q}{Re} \right)^D; \quad (12)$$

ëia  $C = 7 \cdot 10^{-6} + 2 \cdot 10^{-6} \ln(x/d_e)$ ;  $D = 1,0499 + 0,0542 \cdot \ln(x/d_e)$ . Kai  $x/d_e \geq 20$ , tai  $C$  ir  $D$  nebeprisklauso nuo  $x/d_e$  ir  $C = 1,4 \cdot 10^{-5}$ ,  $D = 1,22$ . (12) priklausomybë apibendrina duomenis su ne didesne kaip 3% neapibrëptimi.

### 5. IðVADOS

Atlikus dvimaëius skaitinius miðrios konvekcijos tyrimus laminarinio tekëjimo zonoje vertikaliame plokðiame kanale esant priešingø krypëiø tëkmëms bei simetriniam sieneliø kaitinimui, galima padaryti ðitokias iðvadas:

1. Skaitinis modeliavimas laminarinio tekëjimo zonoje rodo, kad didëjant termogravitacijos jëgø poveikiui tëkmë pradeda atitrûkti nuo kanalo sieneliø. Ðiam kritiniam atstumui ( $X_{crit}$  arba  $(x/d_e)_{crit}$ ) apskaiëuoti pateiktos (8) ir (10) priklausomybës.
2. Esant laminarinei miðriai konvekcijai ðilumos atidavimas pagal kanalo ilgá stabilizuojasi, kai  $x/d_e \approx 20$ . Ðilumos atidavimui apskaiëuoti pateikta (12) priklausomybë.

### Papymëjimai

- $h$  – kanalo aukðtis m;
- $b$  – kanalo plotis m;
- $d_e$  – kanalo ekvivalentinis skersmuo,  $d_e = 2(h \cdot b) / (h + b)$ , m;
- $q$  – šilumos srauto tankis  $W/m^2$ ;
- $i$  – entalpija  $J/kg$ ;
- $y$  – skersinë koordinatë m;
- $p$  – slëgis MPa;
- $T$  – temperatûra K;
- $x$  – atstumas nuo kaitinimo pradþios (iðilginë koordinatë) m;
- $\alpha$  – šilumos atidavimo koeficientas,  $\alpha = q_w / (T_w - T_p)$ ,  $W/(m^2 \cdot K)$ ;
- $\beta$  – tûrinio plëtimosi koeficientas  $1/K$ ;
- $\delta$  – pasienio sluoksnio storis m;
- $\lambda$  – šilumos laidumo koeficientas  $W/(m \cdot K)$ ;
- $\mu$  – dinaminio klampumo koeficientas  $Pa \cdot s$ ;
- $\nu$  – kinematinio klampumo koeficientas  $m^2/s$ ;
- $\rho$  – tankis  $kg/m^3$ .

### Nedimensiniai parametrai

- $Bo$  – termogravitacijos parametras,  $Bo = Gr_q/Re$ ;
- $Gr_q$  – Grashofo skaiëius,  $Gr_q = g \cdot \beta \cdot d_e^4 \cdot q_w / \nu^2 \cdot \lambda$ ;
- $Nu$  – Nuselto skaiëius,  $Nu = \alpha d_e / \lambda$ ;

- $Pr$  – Prandtlio skaiëius,  $Pr = \mu c_p / \lambda$ ;
- $Re$  – Reinoldso skaiëius,  $Re = u_f d_e / \nu$ ;
- $X$  – santykinis atstumas,  $X = (x/d_e) / (Re \cdot Pr)$ .

### Indeksai

- $I$  – pirma sienelë,
- $II$  – antra sienelë,
- $cr; crI$  – kritinis,
- $H$  – hidrodinaminis,
- $in$  – átekëjime,
- $l$  – be termogravitacijos jëgø átakos,
- $T$  – šiluminis,
- $w$  – ant sienelës.

Gauta 2005 03 29

### Literatûra

1. Scheele G. F., Rosen E. M., Hanratty T. J. Effects of natural convection on transition to turbulence in vertical pipes // *Can. J. Chem. Eng.* 1960. Vol. 38. P. 67–73.
2. Ī aooïã Á. Ñ., Ī iëyëiã Á. Ô., Ñððëäëi Á. Ê. Èññëääiãái ëã ðã iëiããiãã à á ððóáã ï ðë äyçëiãñiã iãðããëðãöëiã iã iã ðãããiëë // Ī iñëãã: Ýiãðãëy, 1968. ð. 1. 607 ñ.
3. Ī aooïã Á. Ñ., Áããiëi È. Á., Êiããëãã Ñ. Á. ðã iëiããiãã àã yããðiãó ýiãðããðëãñëëð ðñðãiããëã // Ī iñëãã: Ýiãðããiããiã çãããð, 1986.
4. Hallman T. M. Combined forced and free laminar convection in vertical tubes with uniform internal heat generation // *Trans. ASME. Ser. C.* 1956. Vol. 78. N 8. P. 1831–1841.
5. Scheele G. F., Hanratty T. J. Effects of natural convection instabilities on rates of heat transfer at low Reynolds numbers // *AICHe J.* 1963. Vol. 9. No. 2. P. 183–185.
6. Fluent 6.1 documentation // Fluent inc. 2002.
7. Kenjereš K., Hanjaliã K. Numerical insight into flow structure in ultraturbulent thermal convection / *Physical Review E*, 66, 2002, 036307.
8. Ī aooïã Á. Ñ., Ī iëyëiã Á. Ô. ðã iëiããiãã iã ðë ñiãóããiãë ðððãóéãiã ðiãé iëiãããëëë. Ī iñëãã: Ī aóëã, 1986.

### Arûnas Sirvydas, Robertas Poðkas

#### NUMERICAL INVESTIGATIONS OF OPPOSING MIXED CONVECTION HEAT TRANSFER IN VERTICAL FLAT CHANNEL 1. LAMINAR MIXED CONVECTION AND TRANSITION TO VORTEX FLOW IN CASE OF SYMMETRICAL HEATING

#### Summary

Results on numerical investigation of the local opposing mixed convection heat transfer in a vertical flat channel with symmetrical heating in laminar airflow are presented. A numerical two-dimensional simulation was performed using the FLUENT 6.1 code. Investigations were performed in airflow of 0.1, 0.2 and 0.4 MPa absolute pressure at Reynolds numbers from 1500 up to 4310 with  $Gr_q$  number va-

riation from  $1.65 \cdot 10^5$  to  $3.1 \cdot 10^9$  in order to define the effect of the influence of buoyancy on heat transfer.

Numerical calculations demonstrated that under the effect of small buoyancy there were only small transformations in the velocity profile, but the flow was oriented downward (direction of forced flow).

With increasing the buoyancy forces, flow separation occurred at some distance from the beginning of the heated channel section. With a further increase of buoyancy, the position of flow separation point moved towards the beginning of the heated section. The channel wall temperature noticeably decreased at the flow separation point.

Correlations for calculation of heat transfer in the laminar mixed convection region and for the determination of the position of flow separation from the wall are suggested.

**Key words:** heat transfer, air flow, laminar mixed convection, transition to vortex flow, vertical flat channel, symmetrical heating, numerical simulation

Åðóí àñ Ñèðàèààñ, Ðí àáððààñ Ì íøèàñ

×ÈÑÈÁÍ Í ÒÃ ÈÑÑÈÃÃÍ ÃÃÍ Èß ÒÃÍ ÈÏ -  
Ì ÒÃÃ×È Ì ÐÈ ÑÌ ÅØÃÍ Í Í È ÈÏ Í ÃÃÈÕÈÈ Å  
ÑÈÌ Ì ÅÐÈ×Í Í Í ÃÃÐÃÃÃÃÍ Í Í Ì ÈÏ ÑÈÏ Í  
ÃÃÐÕÈÈÃÈÛÍ Í Í ÈÃÍ ÅÈÃ Å ÒÑÈÏ ÅÈß  
Ì ÐÏ ÕÈÃÍ Í Í ÈÏ ÆÍ ÕÕ Í ÃÍ ÐÃÃÈÃÍ ÈÈ Ì Í -  
ÕÏ ÈÏ Å. 1. ÈÃÍ ÈÍ ÅÐÍ Åß ÑÌ ÅØÃÍ Í Åß  
ÈÏ Í ÃÃÈÕÈÈß È Ì ÅÐÃÕÏ Å Å ÅÈÕÐÃÃÍ Å  
ÒÃ×ÃÍ ÈÃ Å ÑÈÕ×ÃÃ ÑÈÌ Ì ÅÐÈ×Í Í ÃÍ  
ÃÃÕÕÑÕÏ ÐÏ Í Í ÃÃÍ Í ÃÃÐÃÃÃ

Ðàçþí à  
Ã í àñõí ÿùàé ñààùà ì ðèàí àÿõñý ðàçóèùàðù  
àáõõì àðí í àí +èñèáí í í àí èññèããí àáí èÿ ì àñõí í è

ðàí èííõàà-è à ñèì àððè-í í í àãðãããì Ì Ì èíñèì  
ããððèèãèÛÍ Ì ÈÃÍ ÅÈÃ Å ÇÍÃ ÈÃÍ ÈÍ ÅÐÍ Í ÀÍ Òã-áí èÿ  
ãí çãõõà Ì ðè Ì ðÏ ðèãí Ì Ì èí ÆÍ ÕÕ Í ÃÍ Ðããèãí èÿ  
ñì àøãí í è èí í àãèõèè. ×èñèáí í Òã èññèããí àáí èÿ  
Ì ðÏ àãããí Õ ñ èñí í èÛçí àáí èãí èí Ì Ì ùþòãðí í è  
Ì ðÏ àðãí Ì Õ FLUENT 6.1. Èññèããí àáí èÿ  
Ì ðÏ àí àèèèñù à Ì Ì õí èã áí çãõõà Ì ðè àáí àãñí èþõí Ì Ì  
ããèèãí èè 0,1, 0,2 è 0,4 ÑÍ à, +èñèãð Ðãéí í èÛãñà Ì ð  
1500 àí 4310 è +èñèãð Åðãñãí Õã Ì ð 1,65 · 10<sup>5</sup> àí  
3,1 · 10<sup>9</sup>.

×èñèáí í í à Ì Ì àãèèððí àáí èã Ì Ì èãçãéí, +õí Ì ðè  
Ì àáí èÛøèð ðàí èí ÆÍ Õ Ì àãððçèãð Ì ðÏ èñõí àèð Ì Ì ðã-  
ããèãí í àÿ àãõí ðÏ àøèÿ Ì ðÏ Õèèÿ ñèí ðÏ ñòè, Ì Ì Ì Ì õí è  
ãí çãõõà Ì Ì àñàí ó ñã-áí èþ èãí àèã Ì àí ðããèãí àí èç,  
ò. à. Ì Ì Ì àí ðããèãí èþ àÛí óãããí í í àí Òã-áí èÿ. Ñ  
óããèè-áí èãí Ì àãðããã òñèèèãããõñý àí çããèñòãèã  
òãðí Ì àðããèðãèðèí Ì Ì Õ ñèè è Ì ðè Ì ðãããèãí Ì Ì Ì  
ðãññõí ÿí èè Ì ð Ì à-ãèã Ì àí àðããã Ì Ì õí è Ì ððùãããõñý Ì ð  
ñòãí í è èãí àèã è Ì àðãçóãõñý àèððããí à Òã-áí èã. Ì ðè  
àãèÛí àèøàì óããèè-áí èè Ì àãðããã ðí-èã Ì ððùãã  
Ì Ì õí èã Ì àðãí àùããõñý à ñõí ðÏ ó Ì à-ãèã Ì àí àðããã. Ì à  
Ì àñòã Ì ððùãã Ì Ì õí èã òãí Ì àðãòððã ñòãí èè èãí àèã  
ðãçéí ñí èãããõñý.

Ã ðàçóèùòãðã àí àèèçã Ì ðããèí Æãí Õ Ì Ì àí àùãþùèã  
çããèñèì Ì ñòè àèÿ ðãñ-ãòã ðàí èííõàà-è Ì ðè  
èãí èí àðí í è ñì àøãí í è èí í àãèõèè è àèÿ  
Ì Ì ðããèãí èÿ Ì Ì èí Æãí èÿ ðí-èè Ì ððùãã Ì Ì õí èã  
(Ì àðãçí àáí èÿ àèððããí àí Ì Ì õí èã).

Èèþ-ããùã ñèí àã: ðàí èííõàà-ã, Ì Ì õí èã áí çãõõà,  
èãí èí àðí àÿ ñì àøãí àÿ èí í àãèõèè, Ì àðãõí à à  
àèððããí à Òã-áí èã, àãððèèãèÛÍ Õè è èí ñèèè  
èãí àè, ñèì Ì àððè-í Õè Ì àãðãã, +èñèáí í í à  
Ì Ì àãèèððí àáí èã